

01,07

Температурно-временная зависимость откольной прочности α -железа

© А.М. Молодец

Институт проблем химической физики РАН,
Черноголовка, Московская обл., Россия

E-mail: molodets@icp.ac.ru

(Поступила в Редакцию 22 апреля 2013 г.)

Обобщены экспериментальные данные по температурной зависимости откольной прочности α -железа. Собственные и литературные данные истолкованы в рамках кинетической концепции прочности твердых тел. Представлена температурно-временная зависимость прочности α -железа в диапазоне времен 10^5 – 10^{-9} с.

1. Введение

Железо является основой многих практически важных конструкционных сталей, и поэтому исследованию его прочностных характеристик посвящено большое число работ с использованием широкого спектра методик. Например, в [1] исследована температурно-временная зависимость прочности чистого α -железа в диапазонах температур 77–670 К и времен 10– 10^5 с. Исследованию температурной зависимости прочности железа в волнах растяжения (откольной прочности) при температурах 77–1000 К также посвящен ряд работ, в частности [2–4].

Хорошо известно, что время разрушения при отколе на несколько порядков меньше времени статического разрушения, а максимальные растягивающие напряжения в несколько раз выше статической прочности материала. С этой точки зрения измерения температурной зависимости откольной прочности важны не только в прикладном отношении, но и для теории прочности твердых тел.

В указанных выше работах представлена экспериментальная зависимость откольной прочности образцов из железа от их начальной температуры при временах от $\sim 10^{-7}$ с в [2,3] и до $\sim 10^{-9}$ с в [4]. При одинаковых начальных температурах откольная прочность в [4] более чем в 2 раза превышает данные [2,3] и более чем на порядок превышает квазистатические данные [1]. Цель настоящей работы заключается в согласовании экспериментальных данных по температурно-временной зависимости прочности железа [1–4] с позиций кинетической концепции [5] прочности твердых тел.

2. Параметры модели

Согласно [5,6], при растяжении металлов в результате неоднородности протекания пластической деформации в микрообъемах материала возникают высокие локальные растягивающие напряжения σ_L , которые связаны с прикладываемым макроскопическим напряжением σ посредством коэффициента перенапряжения q соотношением $\sigma_L = q\sigma$. На фоне высоких локальных напря-

жений происходит термофлуктуационное образование зародышевых несплошностей. Длительность стадии накопления зародышевых несплошностей τ описывается соотношением Журкова

$$\tau(\sigma, T) \cong \tau_0 \exp\left(\frac{U_0 - \gamma\sigma}{RT}\right), \quad (1)$$

где T — температура, $\tau_0 \sim 10^{-12}$ – 10^{-13} с — время, близкое к обратной дебаевской частоте, $U_0 = \text{const}$ — начальный барьер элементарного акта разрушения, γ — структурно-чувствительный коэффициент, R — газовая постоянная.

Одной из первых публикаций, где откол рассматривается с позиций кинетической концепции прочности, была работа [7]. В развитие представлений [5,7] процесс откольного разрушения в [8] анализируется как двухстадийный процесс; предполагается, что образование зародышей разрушения на первой стадии откола развивается при высоких скоростях пластической деформации во фронте волны растяжения (см. схему в [9]). При этом модификация термофлуктуационного соотношения (1) применительно к отколу основывается на том факте, что локальные напряжения возникают не мгновенно, а требуют некоторого времени θ . В [10] предложено приближенное функциональное соотношение для температурно-временной зависимости откольной прочности [8], учитывающее конечность времени θ , в виде

$$\sigma(\tau, T) \approx \frac{\sigma_{Th}}{q} \left(1 - T \frac{R}{U_0} \ln \frac{\tau}{\tau_0}\right), \quad (2)$$

где σ_{Th} — теоретическая прочность; R и U_0 — то же, что в (1); τ — время стадии зарождения несплошностей при отколе; q — зависящий от τ коэффициент перенапряжения, определяемый эмпирическим соотношением

$$q = 1 + \kappa_0 \left\{1 - \exp\left[-\frac{1}{\alpha} \left(\frac{\tau}{\theta_0}\right)^\alpha\right]\right\}. \quad (3)$$

График $q = q(\tau)$ (3) представляет собой несимметричную размытую ступеньку с характерным временем

$\theta \sim \alpha^{1/\alpha} \theta_0$, где α , θ_0 , κ — подгоночные коэффициенты. Случай $\tau \ll \theta$ соответствует $q = 1$, т.е. отсутствию перенапряжений и мгновенному разрушению при максимально возможной прочности, приближающейся к σ_{Th} . Противоположный случай $\tau \gg \theta$ соответствует $q = \text{const} = \kappa_0 + 1$, т.е. температурно-временной зависимости прочности при больших временах квазистатического нагружения, когда локальные напряжения $\sigma_L = q\sigma$ успевают достичь максимальной величины. Для учета этой ситуации величина третьего подгоночного коэффициента κ_0 в (3) заранее определяется так, чтобы при $\tau \gg \theta$ функция (2) совпадала с (1), что выполняется при

$$\kappa_0 = \frac{\gamma \sigma_{Th}}{U_0} - 1, \quad (4)$$

где γ и U_0 — те же, что в (1); σ_{Th} — теоретическая прочность из (2).

Таким образом, соотношение (2) содержит параметры γ , U_0 , характеризующие прочность при больших временах, и два подгоночных параметра α и θ_0 , характеризующих разрушение при малых временах разрушения. Параметры α и θ_0 могут быть оценены, если известна экспериментальная зависимость растягивающих напряжений от времени при отколе.

3. Нахождение параметров модели по экспериментальным данным

Способ реконструкции зависимости растягивающих напряжений σ от времени t при отколе $\sigma(t)$ (профиль $\sigma(t)$) в сечении откола (плоскости в образце, отстоящей от его свободной поверхности на величину δ) был предложен в [7]. Согласно приближению [7], профиль $\sigma(t)$ можно построить, если известны профиль $W(t)$ скорости свободной поверхности разрушающегося образца и время Δt реверберации откольного импульса в откольной пластине толщиной δ . В этом случае значение действующих в сечении откола растягивающих напряжений рассчитывается по формуле

$$\sigma(t) = 0.5\rho C \Delta W(t), \quad (5)$$

где ρ и C — плотность материала образца и скорость звука в нем, а $\Delta W(t)$ — положительная часть разности ординат зависимости $W(t)$ (профиль 1 на рис. 1, *a*) и этого же профиля, смещенного относительно первого на отрезок $\Delta t = 2\delta/C$ (профиль 2 на рис. 1, *a*).

В качестве иллюстрации соотношения (5) на рис. 1 приведен пример обчета одного из профилей $W(t)$, скопированного с рис. 2 из работы [4]. На рис. 1, *a* затемненная область соответствует профилю $\Delta W(t)$. На рис. 1, *b* затемненная область отвечает профилю $\sigma(t) = 0.5\rho C \Delta W(t)$.

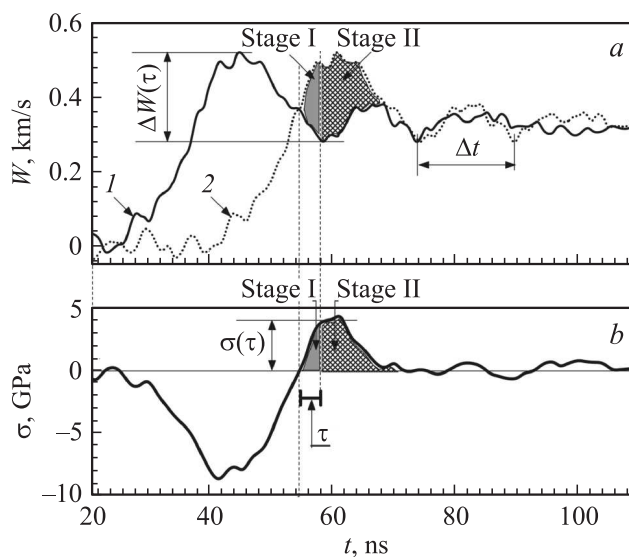


Рис. 1. Реконструкция зависимости растягивающих напряжений σ от времени t при отколе: профиль $\sigma(t)$ в сечении откола согласно [7] и подразделение процесса откольного разрушения на две стадии согласно [8]. Пояснения приведены в тексте.

Согласно [8–10], стадия зарождения несплошностей (stage I на рис. 1) при отколе протекает с момента появления растягивающего напряжения и длится в течение времени τ до момента достижения растягивающими напряжениями максимального значения $\sigma(\tau)$ (см. рис. 1, *b*). Величина $\sigma(\tau)$ является откольной прочностью в общепринятом смысле и вычисляется в первом приближении как

$$\sigma(\tau) = 0.5\rho C \Delta W(\tau). \quad (6)$$

Заштрихованная область на рис. 1 соответствует второй стадии откола — стадии роста и объединения несплошностей (stage II на рис. 1), которая развивается при временах $t > \tau$ и сопровождается релаксацией растягивающих напряжений до нуля в момент отделения откольной пластины (см. [9]).

Зависимость откольной прочности (6) от времени τ при различных температурах $T(\tau)$ разрушающегося материала представляет собой температурно-временную зависимость откольной прочности $\sigma(\tau, T)$. На рис. 2, *a* представлены данные по временной зависимости откольной прочности железа $\sigma(\tau, T_0)$ в интерпретации рис. 1 при начальной температуре $T_0 \sim 300$ К [3,4], полученные с использованием формулы (6) с учетом

Таблица 1. Параметры функционального соотношения для температурно-временной зависимости прочности α -железа

α	$\lg(\theta_0, \text{s})$	κ_0	$\lg(\tau_0, \text{s})$	$U_0, \text{kJ/mole}$	$\gamma \text{ cm}^3/\text{mole}$	σ_{Th}, GPa
0.39	-3.95	163.66	-13	447.9 [1]	1883.7 [1]	39.15

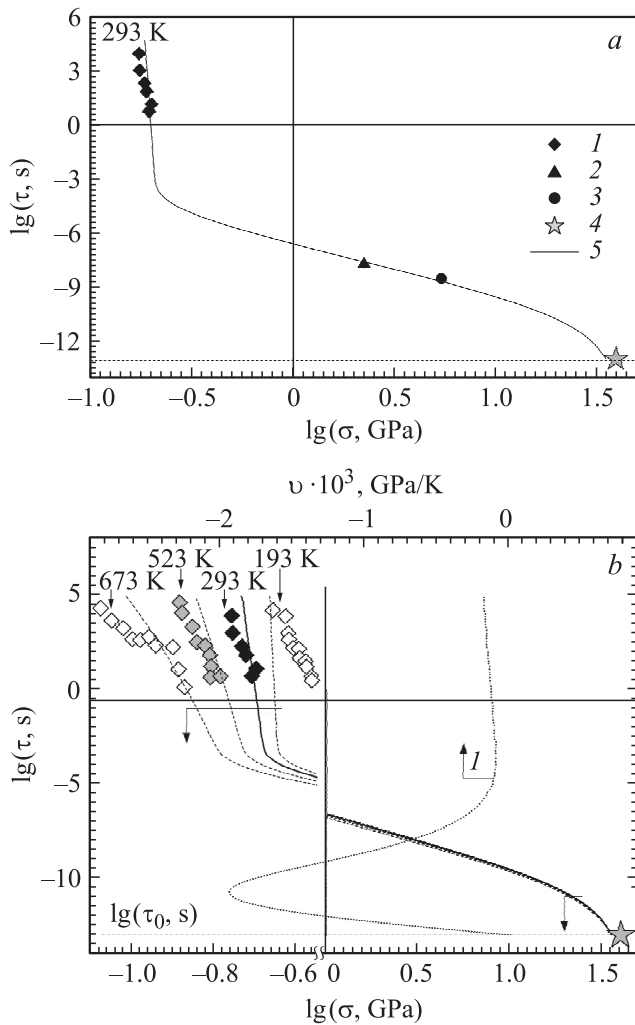


Рис. 2. Экспериментальные данные по температурно-временной зависимости прочности железа в диапазоне времен нагружения 10^5-10^{-9} s. *a*) 1 — долговечность железа при температуре $T_0 \sim 300$ K (данные [1]), 2 — откольная прочность железа при начальной температуре $T_0 \sim 300$ K (данные [3]), 3 — откольная прочность железа при начальной температуре $T_0 \sim 300$ K (данные [4]), 4 — оценка теоретической прочности железа по формуле (17), 5 — объединяющий график функции (2) с коэффициентами из табл. 1. *b*) Расчетный „веер“ температурно-временной зависимости прочности железа в сравнении с экспериментальными данными [1] (точки). Сплошная кривая и звездочка — то же, что и на части *a*, *I* — график частной производной (2) по температуре.

упругопластической поправки Степанова [11]. При этом для данных [3] величина τ составляла ~ 30 ns, а для данных [4] величина τ составила ~ 3 ns в согласии с рис. 1, *a*. На рис. 2, *a* представлены также квазистатические данные по долговечности чистого α -железа при температуре 293 K из работы [1] и значение теоретической прочности железа σ_{Th} при $\tau = \tau_0 = 10^{-13}$ s. Вариацией подгоночных коэффициентов α и θ_0 была найдена оптимальная временная зависимость прочности железа при температуре ~ 300 K в диапазоне времен

10^5-10^{-9} s. Эта зависимость в виде графика функции (2) показана на рис. 2, *a*. Значения α и θ_0 , а также значения остальных параметров (2) приведены в табл. 1.

4. Обсуждение результатов

Как следует из структуры формулы (2), „веер“ графиков $\sigma(\tau, T_0)$ при различных T_0 центрирован относительно точки ($\sim \sigma_{Th}, \tau_0$) и имеет точки перегиба в области между θ_0 и τ_0 . Благодаря этому соотношение (2) с найденными коэффициентами единообразно аппроксимирует экспериментальные данные по температурно-временной зависимости прочности железа как при больших (10^5-1 s), так и при малых ($10^{-7}-10^{-9}$ s) временах разрушения.

Действительно, на рис. 2, *b* показана температурно-временная зависимость прочности α -железа (2) в квазистатической области при $\sigma \sim 0.5$ GPa. Видно, что соотношение (2) в пределах погрешностей согласуется с экспериментом [1] в интервале температур 600–300 K.

Согласно (2), в координатах $\sigma - \ln \tau$ температурная зависимость прочности представляет собой прямую линию с наклоном ν , зависящим от τ как $\nu = \partial \sigma / \partial T = -((R\sigma_{Th}) / (qU_0)) \ln(\tau / \tau_0)$. Для железа график $\nu = \nu(\lg \tau)$ представлен кривой 1 на рис. 2, *b*. Как видно, эта кривая предсказывает существенные изменения температурной зависимости прочности железа в диапазоне времен $\tau \sim 10^{-4}-10^{-11}$ s. В „откольной“ области ($\tau \sim 10^{-7}-10^{-9}$ s) эта особенность подтверждается экспериментальными данными [2–4]. Действительно, на рис. 3 прямой 1 показан график функции (2) с наклоном $\nu = \nu_1$ при значении $\tau = 30$ ns, характерном для первой стадии откола в [2,3]. Прямая 2 — это график функции (2) с наклоном $\nu = \nu_2$ при значении $\tau = 3$ ns,

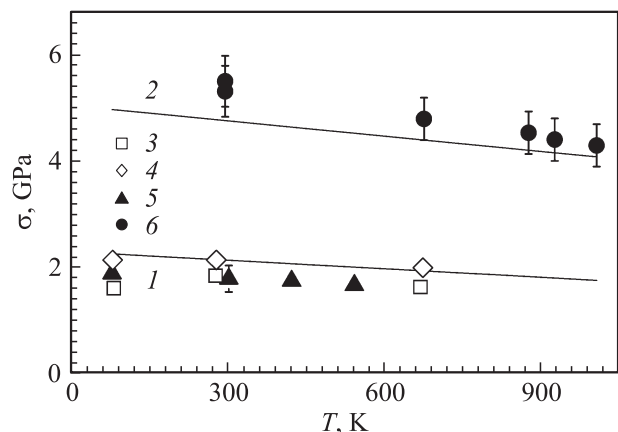


Рис. 3. Температурная зависимость откольной прочности железа. 1, 2 — расчет по формуле (2) с коэффициентами из табл. 1 при значениях $\tau \sim 30$ и 3 ns соответственно, 3, 4 — максимальные растягивающие напряжения для зарождающегося откола [2] и полного откола [2] соответственно, 5, 6 — экспериментальные данные [3] и [4] соответственно. Экспериментальные погрешности взяты из указанных работ.

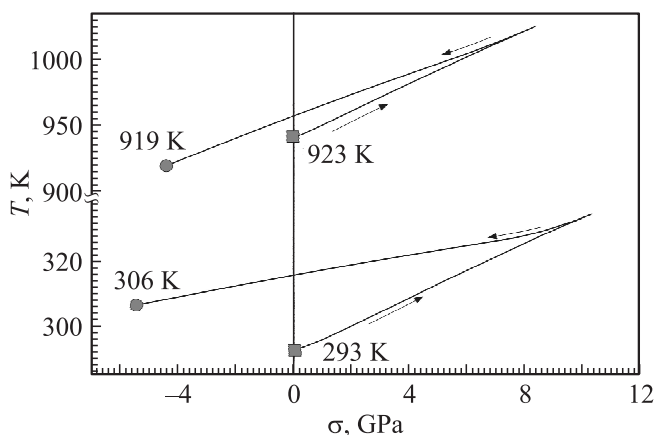


Рис. 4. Изменение температуры в сечении откола при начальных температурах 293 и 923 К для условий нагружения, близких к указанным в [4]. Стрелки слева направо — процесс ударного сжатия, стрелки справа налево — процесс разгрузки и растяжения. Около точек в конце кривых указаны значения температур в сечении откола в момент достижения растягивающими напряжениями значений откольной прочности железа.

соответствующем времени первой стадии откола в [4]. Видно, что рассчитанные зависимости согласуются с экспериментом как в качественно (наклон прямой 1 меньше, чем наклон прямой 2), так и количественно (расчетные кривые практически совпадают с данными эксперимента).

Как уже упоминалось, „верс“ графиков $\sigma(\tau, T_0)$ центрирован относительно точки ($\sim \sigma_{Th}, \tau_0$). Это означает, что при дальнейшем уменьшении времени процесса разрушения механизм первой стадии разрушения приближается к атермическому. Основываясь на поведении кривой 1 на рис. 2, b, можно предположить, что переход к атермическому механизму разрушения железа происходит приблизительно в диапазонах времен $\tau < 10^{-11}$ s и напряжений $\sigma > 22$ GPa.

Во Введении отмечалось, что в [2–4] получены зависимости откольной прочности от начальной температуры образцов T_0 . При этом очевидно, что температура внутренних слоев образца при ударном сжатии и последующем растяжении $T(\tau)$ изменяется и во время развития откольного разрушения не равна T_0 . Для того чтобы оценить различие этих температур, были предложены уравнения состояния α -железа (см. раздел 5), а затем в рамках гидрокода, опирающегося на эти уравнения состояния рассчитано изменение температуры в сечении откола образца из железа в цикле ударное сжатие–растяжение.

На рис. 4 представлены результаты двух расчетов для начальных температур $T_0 = 293$ и 923 К. Согласно этим расчетам, температура разрушающегося железа при отколе может быть как больше, так и меньше начальной температуры образцов. Однако их различие невелико и находится на уровне 5–10 К, что составляет 0.5–5% от начальных температур для обсуждаемых

экспериментов. Поэтому отличие $T(\tau)$ от T_0 для железа в рассмотренных „откольных“ экспериментах можно в согласии с (2) не принимать во внимание.

5. Уравнение состояния α -железа

Полуэмпирическое приближение (см. [12]) для фоновой части свободной энергии твердого тела $F = F(V, T)$, где V — удельный объем материала, T — его температура, базируется на модели эйнштейновских осцилляторов

$$F = E_x + 3R \left[\frac{\Theta}{2} + T \ln \left(1 - \exp \left(-\frac{\Theta}{T} \right) \right) \right], \quad (7)$$

$$\Theta = \Theta_0 \left(\frac{v_0 - V}{v_0 - V_0} \right)^2 \left(\frac{V_0}{V} \right)^{2/3}, \quad (8)$$

$$v_0 = V_0 \left(1 + \frac{2}{\gamma_0 - 2/3} \right), \quad (9)$$

где R — удельная газовая постоянная, $\Theta = \Theta(V)$ — характеристическая температура, зависящая только от объема, $\Theta_0 = \Theta(V_0)$, v_0 — параметр, имеющий смысл характеристического объема, $\gamma_0 = \gamma_0(V_0, T_0)$ — параметр Грюнайзена, V_0 — начальный объем, T_0 — начальная температура.

Единственный подгоночный параметр модели v_x входит в выражение для потенциальной энергии $E_x = E_x(V)$

$$E_x = -v_x(C_1 H_x + C_2 x) + C_3, \quad (10)$$

$$H_x = 9 \left(\frac{1}{10} x^{-2/3} + 2x^{1/3} + \frac{3}{2} x^{4/3} - \frac{1}{7} x^{7/3} + \frac{1}{10} x^{10/3} \right), \quad (11)$$

$$x = \frac{V}{v_x}, \quad (12)$$

где C_1, C_2, C_3 — константы, выражающиеся через справочные данные для свойств материала и параметр v_x .

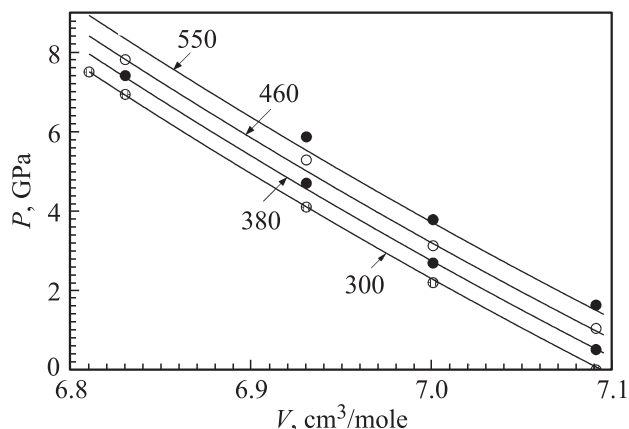


Рис. 5. Изотермы высокого давления α -железа. Точки — эксперимент [13], линии — расчет по уравнению состояния (13) с коэффициентами из табл. 2. Числа около изотерм — температура (в К).

Таблица 2. Коэффициент полуэмпирического выражения (7) для свободной энергии α -железа

T_0 , К	V_0 , cm ³ /mole	Θ_0 , К	ν_0 , cm ³ /mole	ν_x , cm ³ /mole	C_1 , GPa	C_2 , GPa	C_3 , kJ/g
298	7.093	357.8	21.092	21.019	-144.522	2971.035	-572.456

Согласно термодинамическим тождествам, уравнения состояния определяются частными производными свободной энергии (7). Так, термическое уравнение состояния $P = P(V, T) = -\partial F/\partial V$, т.е. зависимость давления P от объема и температуры в этой модели, имеет вид

$$P = P_x + 3R \frac{\gamma_G}{V} \Theta \left(\frac{1}{2} + \frac{1}{\exp(\Theta/T) - 1} \right), \quad (13)$$

где $P_x = P_x(V)$ — потенциальное давление,

$$P_x = 3C_1 \left(-\frac{1}{5} x^{-5/3} + 2x^{-2/3} + 6x^{1/3} - x^{4/3} + \frac{1}{7} x^{7/3} \right) + C_2, \quad (14)$$

$\gamma_G = \gamma_G(V)$ — объемная зависимость коэффициента Грюнайзена,

$$\gamma_G = -\frac{\partial \ln \Theta}{\partial \ln V} = \frac{2}{3} + \frac{2V}{\nu_0 - V}. \quad (15)$$

Величина подгоночного параметра ν_x для α -железа находилась из условия наилучшего совпадения, полученной при комнатной температуре изотермы $P = P(V, T_0)$, рассчитываемой по формуле (13), и экспериментальной изотермы высокого давления из работы [13]. Найденная величина ν_x для α -железа составила $\nu_x = 21.019 \text{ cm}^3/\text{mol}$. Полный комплект коэффициентов для (7) и соответственно для (13) представлен в табл. 2.

Достоверность и область применимости уравнения состояния устанавливалась путем сравнения расчетных и экспериментальных [13] изотерм высокого давления α -железа. Как видно из рис. 5, в области давлений 0–8 GPa и температур 300–550 K расчет практически совпадает с экспериментом [13].

Заметим, что минимальное значение потенциального давления (14) достигается при значении $x = 1$ и составляет величину

$$P_{x \min} = 20.82 C_1 + C_2. \quad (16)$$

Значение $P_{x \min}$, взятое по абсолютной величине, можно использовать в качестве оценки величины теоретической прочности $\sigma_{Th} = |P_{x \min}|$, т.е.

$$\sigma_{Th} = |20.82 C_1 + C_2|. \quad (17)$$

Величина σ_{Th} для α -железа, рассчитанная по формуле (17) с константами из табл. 2, составляет $\sigma_{Th} = 39.15 \text{ GPa}$. Это значение внесено в табл. 1 и использовано в выражении (2) для температурно-временной зависимости откольной прочности α -железа.

6. Заключение

Сопоставлены экспериментальные данные по квазистатическому и откольному разрушению α -железа. Экспериментальные данные по отколу объяснены с позиций кинетической концепции прочности твердых тел. Предложено соотношение для достоверного описания температурно-временной зависимости прочности железа в диапазонах времен 10^5 – 10^{-9} s и температур 300–600 K. Представлены уравнения состояния α -железа, на основе которых проведены расчеты изменения температуры при ударно-волновом сжатии и последующем расширении железа в волне растяжения.

Автор выражает благодарность В.В. Киму за предоставление гидрокода.

Список литературы

- [1] В.М. Алябьев, В.А. Павлов. ФММ **43**, 116 (1977).
- [2] В.К. Голубев, С.А. Новиков, Ю.С. Соболев, Т.С. Юкина. Проблемы прочности **6**, 28 (1985).
- [3] А.М. Молодец, В.И. Лебедев, А.Н. Дремин. ФГВ **25**, 101 (1989).
- [4] T. de Ressaiguier, E. Lescoute, D. Loison. Phys. Rev. B **86**, 214 102 (2012).
- [5] В.Р. Регель, А.И. Слуцкер, Э.Е. Томашевский. Кинетическая природа прочности твердых тел. Наука, М. (1974). 560 с.
- [6] А.И. Слуцкер. ФТТ **46**, 1606 (2004).
- [7] Н.А. Златин, С.М. Мочалов, Г.С. Пугачев, А.М. Брагов. ФТТ **16**, 1752 (1974).
- [8] А.М. Молодец, А.Н. Дремин. ДАН СССР **265**, 1385 (1982).
- [9] A.N. Dremin, A.M. Molodets. In: Shock compression of condensed matter / Eds by S.C. Schmidt, J.N. Jonson, L.W. Davison. Elsevier Science Publ. B.V. (1990). P. 415.
- [10] А.М. Молодец, А.Н. Дремин. ФГВ **19**, 154 (1983).
- [11] Г.В. Степанов. Проблемы прочности, **8**, 66 (1975).
- [12] А.М. Molodets. High Pres. Res. **30**, 325 (2010).
- [13] S. Klotz, Th. Strässle, A.L. Cornelius, J. Philippe, V. Pomjaku-shin. J. Phys. D **44**, 055 406 (2011).